

圖 4.31 葉片直徑  $D=T/2$  和間隙  $C=T/4$  在不同角度時的功率數與攪拌數

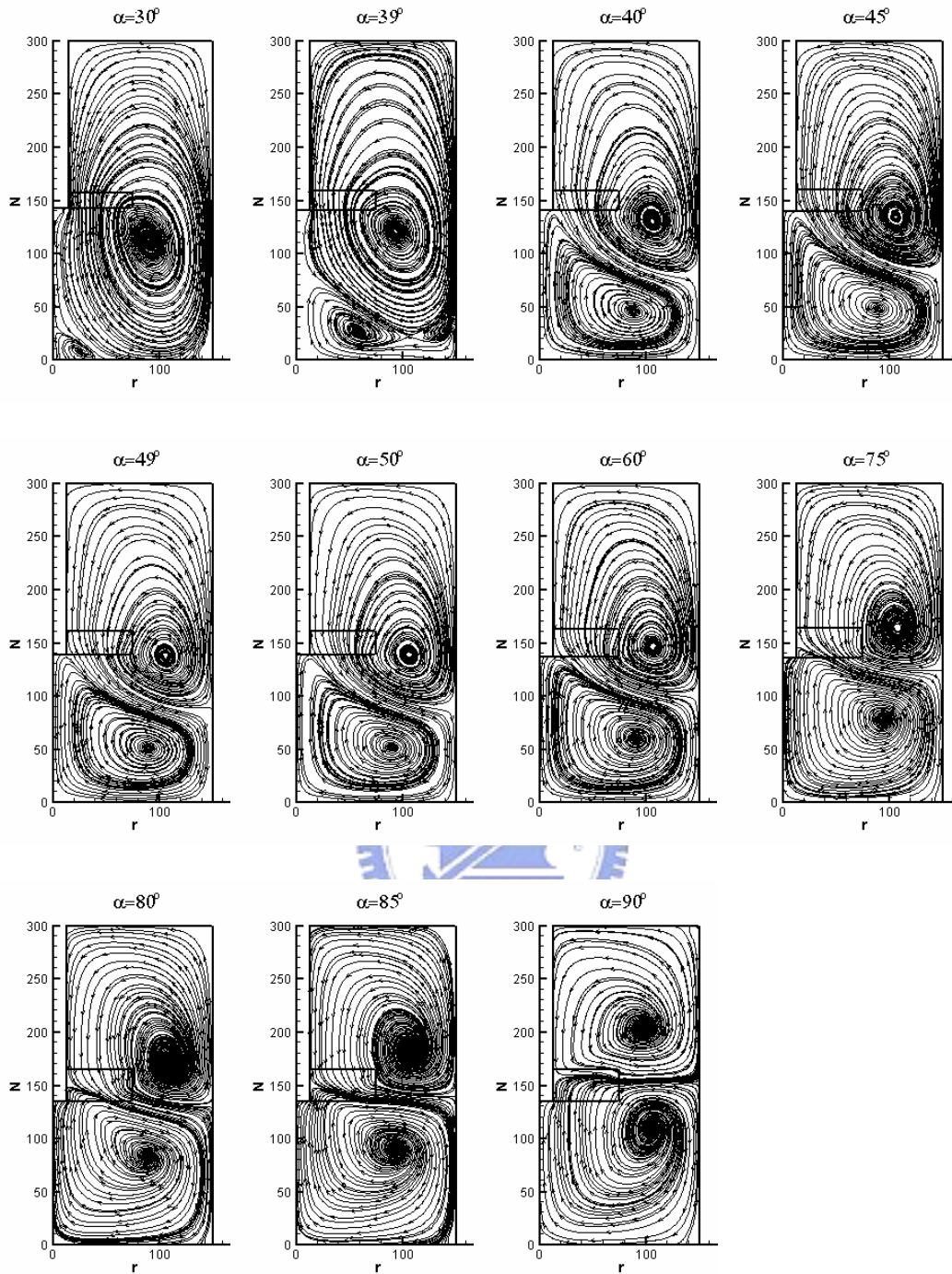


圖 4.32 葉片直徑  $D=T/2$  和間隙  $C=T/2$  在不同角度時的流線圖

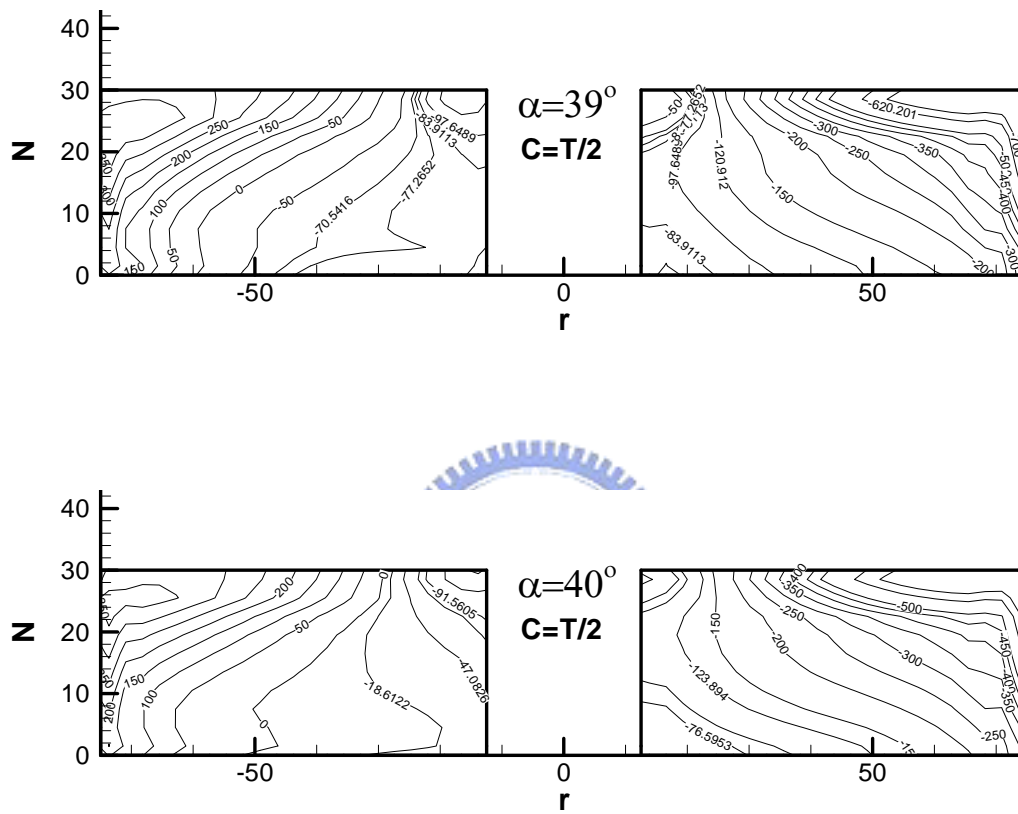


圖 4.33 葉片直徑  $D=T/2$  和間隙  $C=T/2$  流場變化最大的兩個角度  
葉片上的壓力分佈(左邊葉片為迎風面，右邊葉片為背風面)

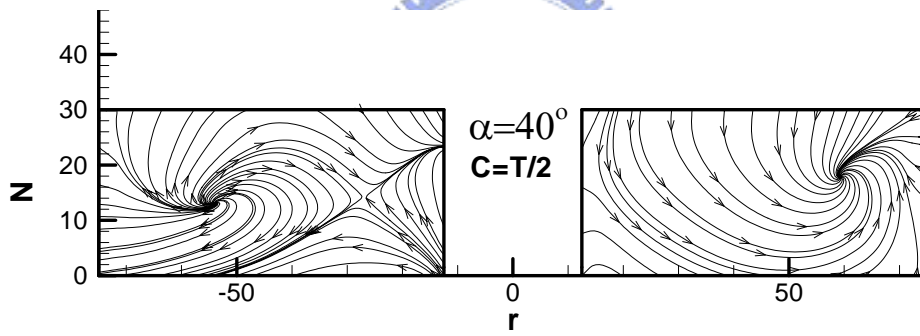
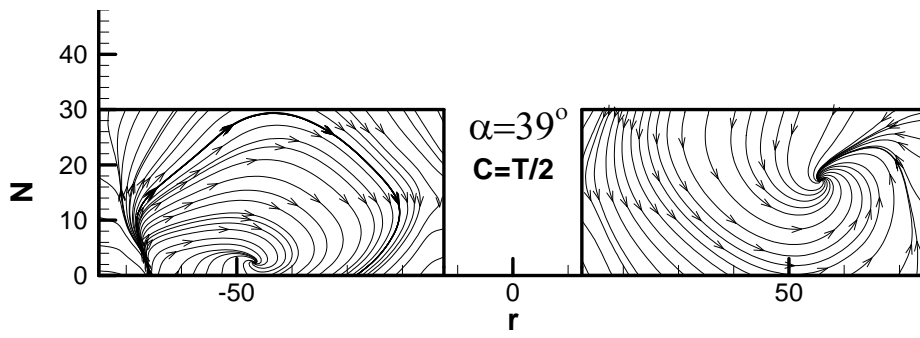


圖 4.34 葉片直徑  $D=T/2$  和間隙  $C=T/2$  流場變化最大的兩個角度  
平行葉片上的流線圖(左邊葉片為迎風面，右邊葉片為背風面)

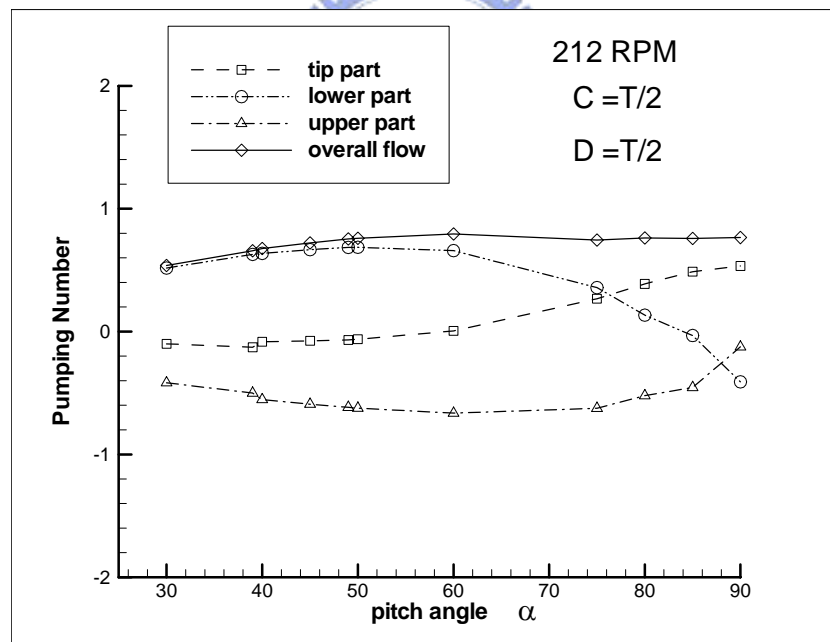
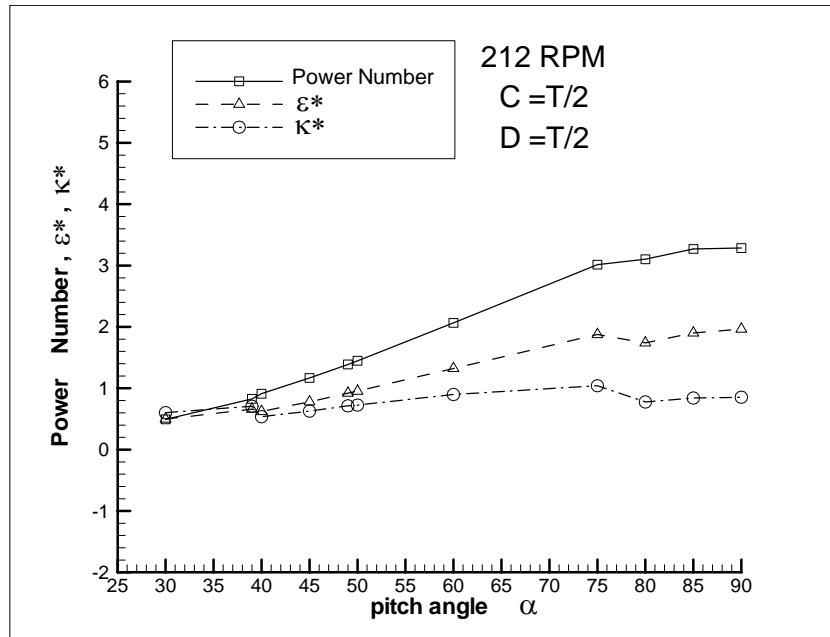


圖 4.35 葉片直徑  $D=T/2$  和間隙  $C=T/2$  在不同角度時的功率數與攪拌數

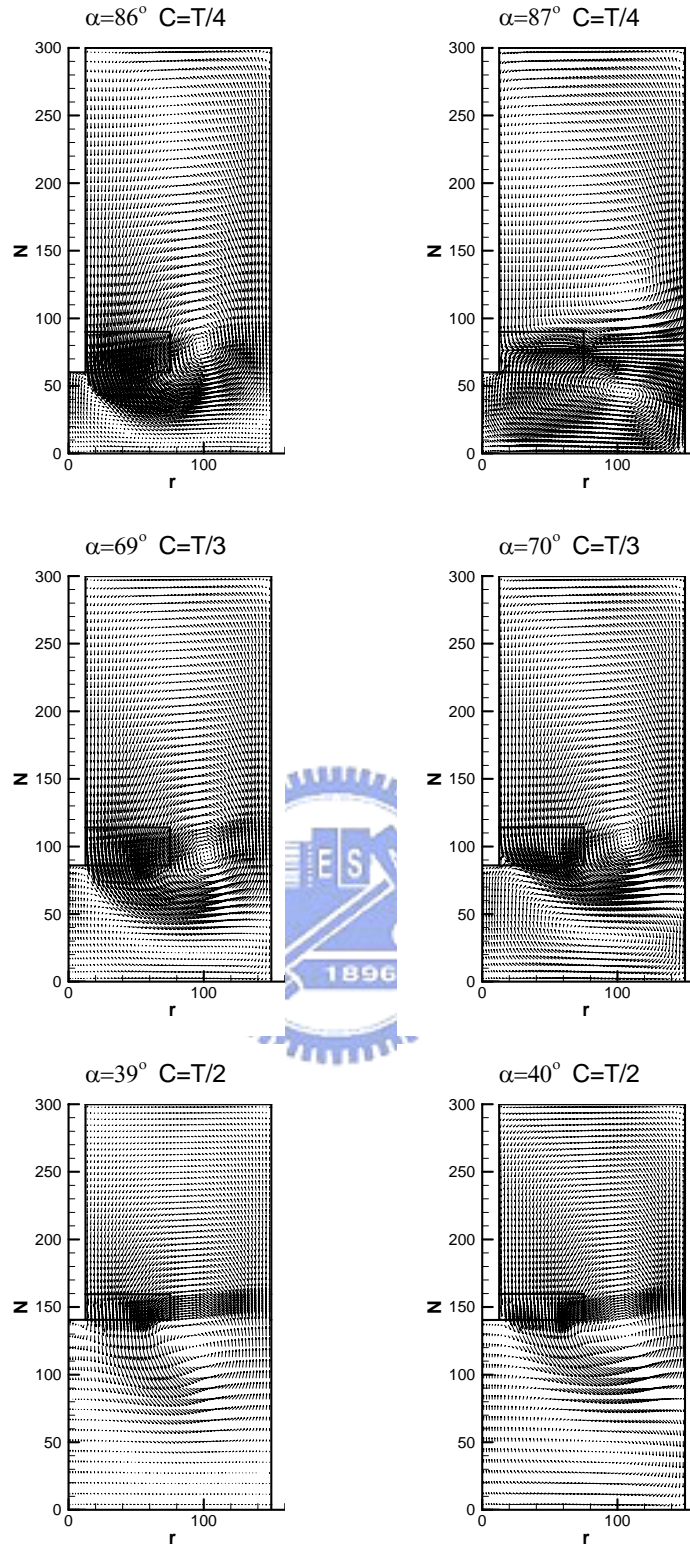


圖 4.36 不同高度時流場變化較大的兩個角度(葉片直徑  $D=T/2$ )

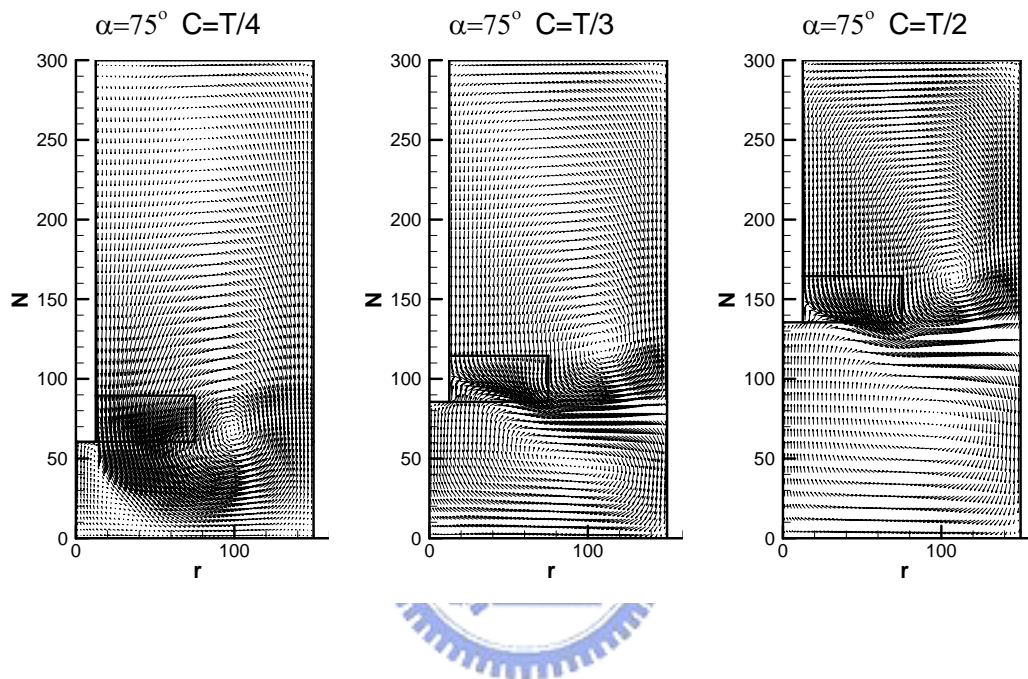


圖 4.37 不同高度的流場變化情形(葉片直徑  $D=T/2$ )

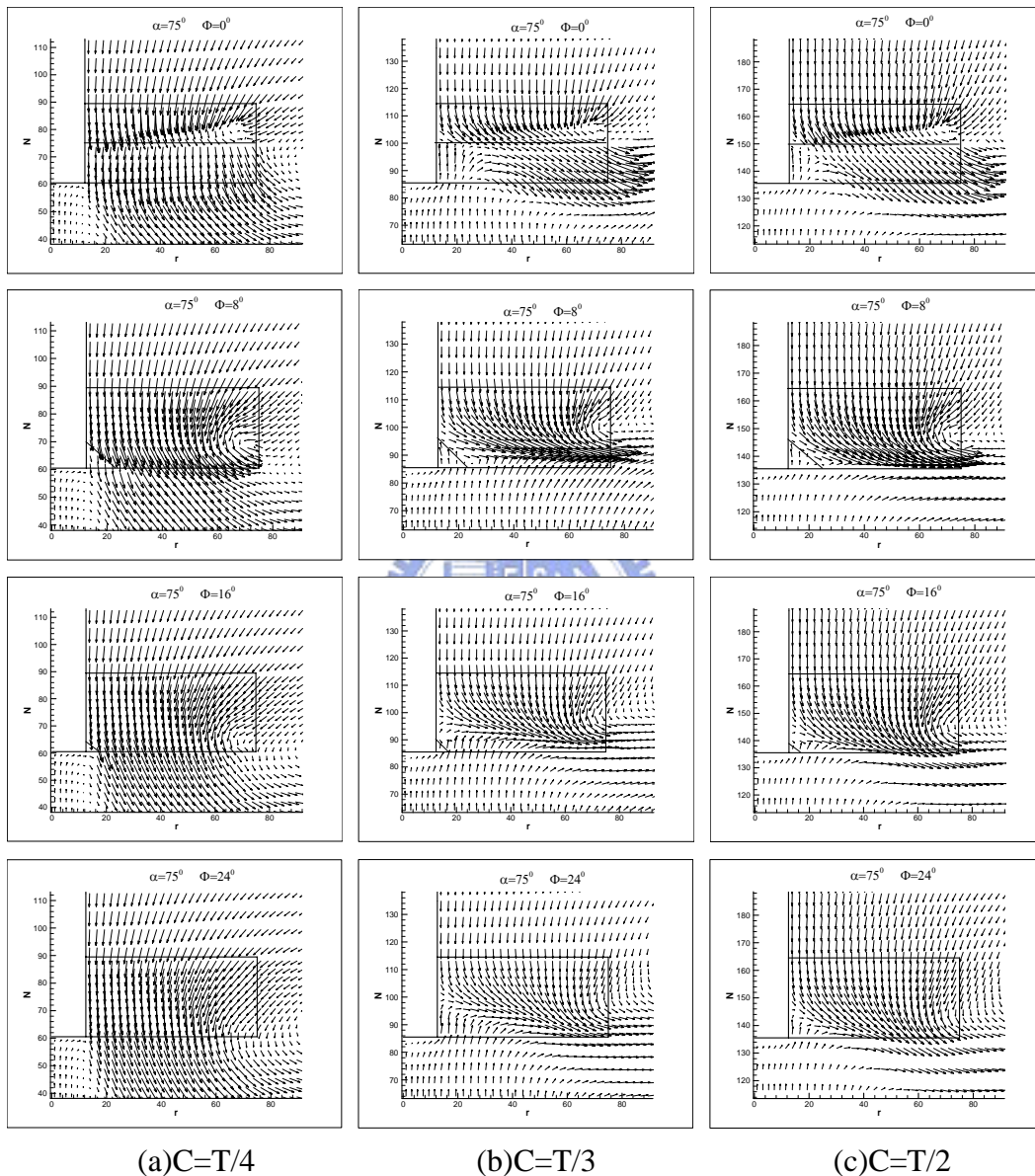
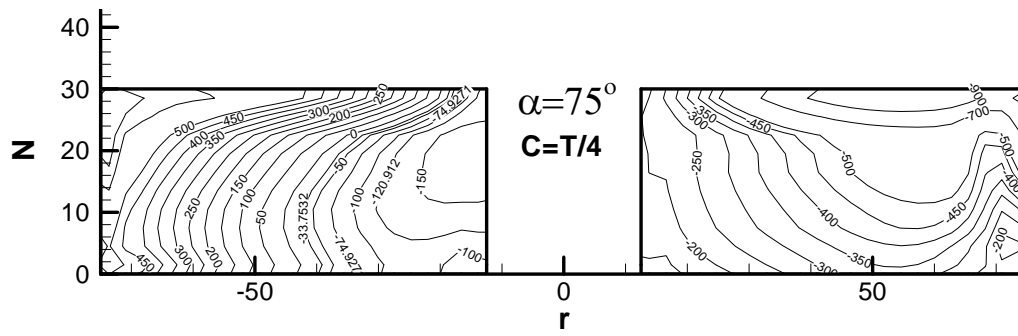
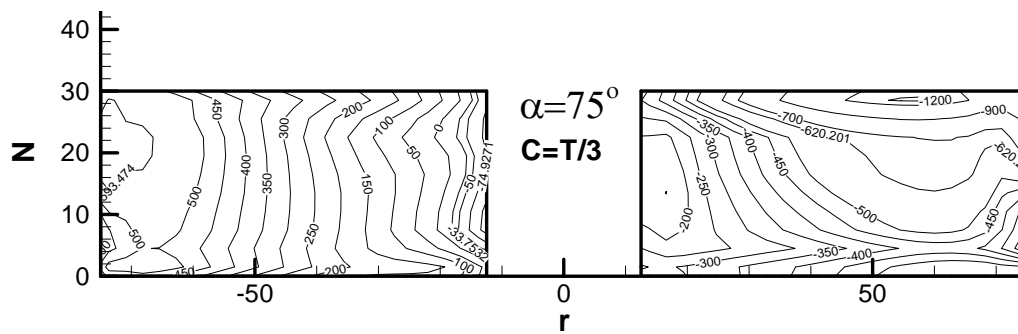


圖 4.38 不同高度時葉片背風面流場變化情形(葉片直徑  $D=T/2$ )

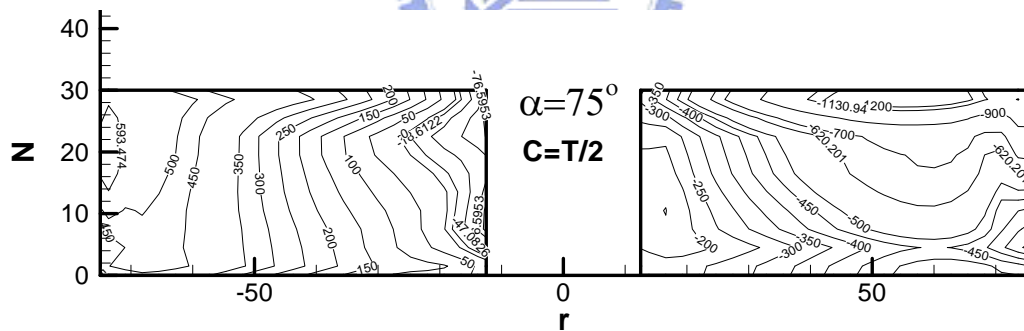




(a)  $C=T/4$

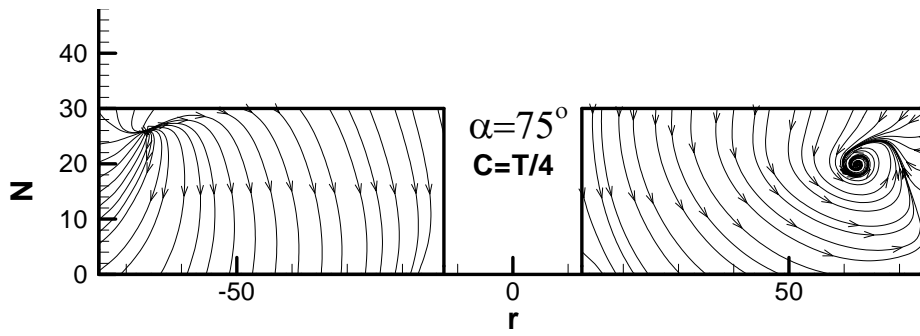


(b)  $C=T/3$

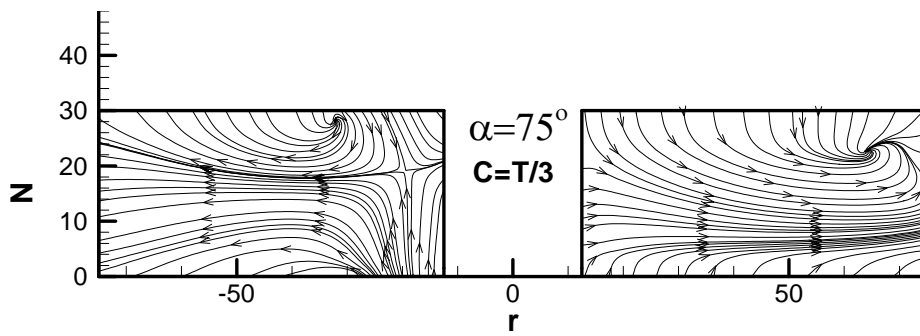


(c)  $C=T/2$

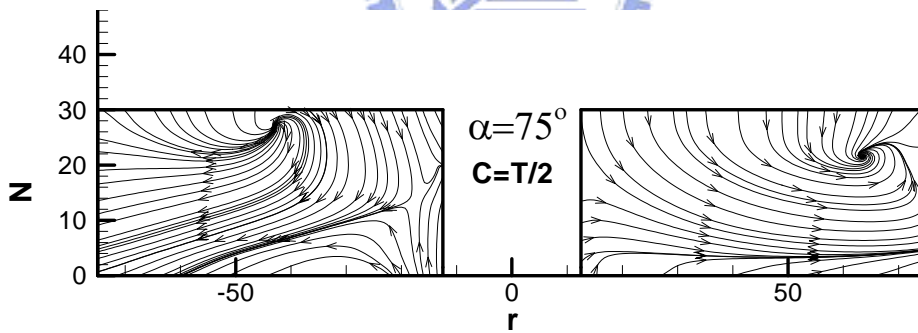
圖 4.39 葉片直徑  $D=T/2$  在不同高度時葉片上的壓力分佈  
(左邊葉片為迎風面，右邊葉片為背風面)



(a)  $C=T/4$

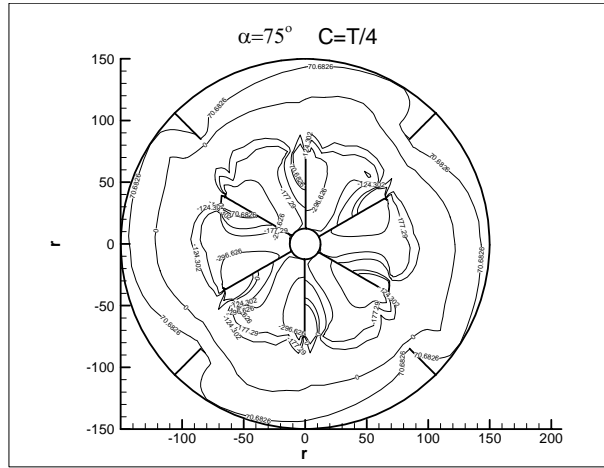


(b)  $C=T/3$

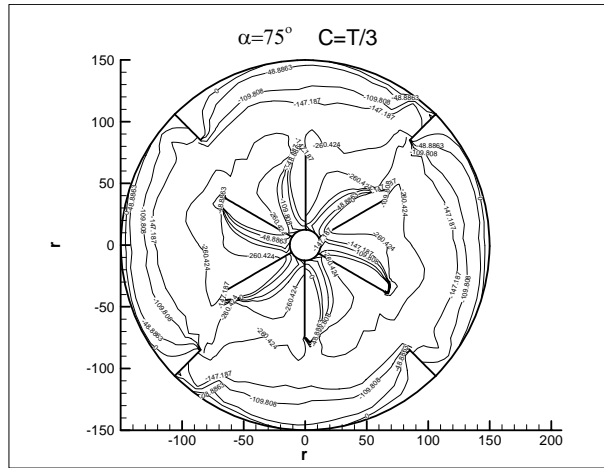


(c)  $C=T/2$

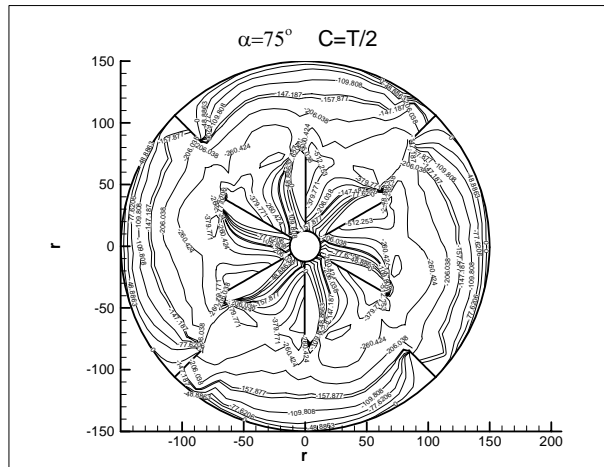
圖 4.40 葉片直徑  $D=T/2$  在不同高度時葉片上的壓力分佈  
(左邊葉片為迎風面，右邊葉片為背風面)



(a)  $C=T/4$



(b)  $C=T/3$



(c)  $C=T/2$

圖 4.41 葉片直徑  $D=T/2$  在不同葉片中心高度的水平剖面上的壓力分佈圖

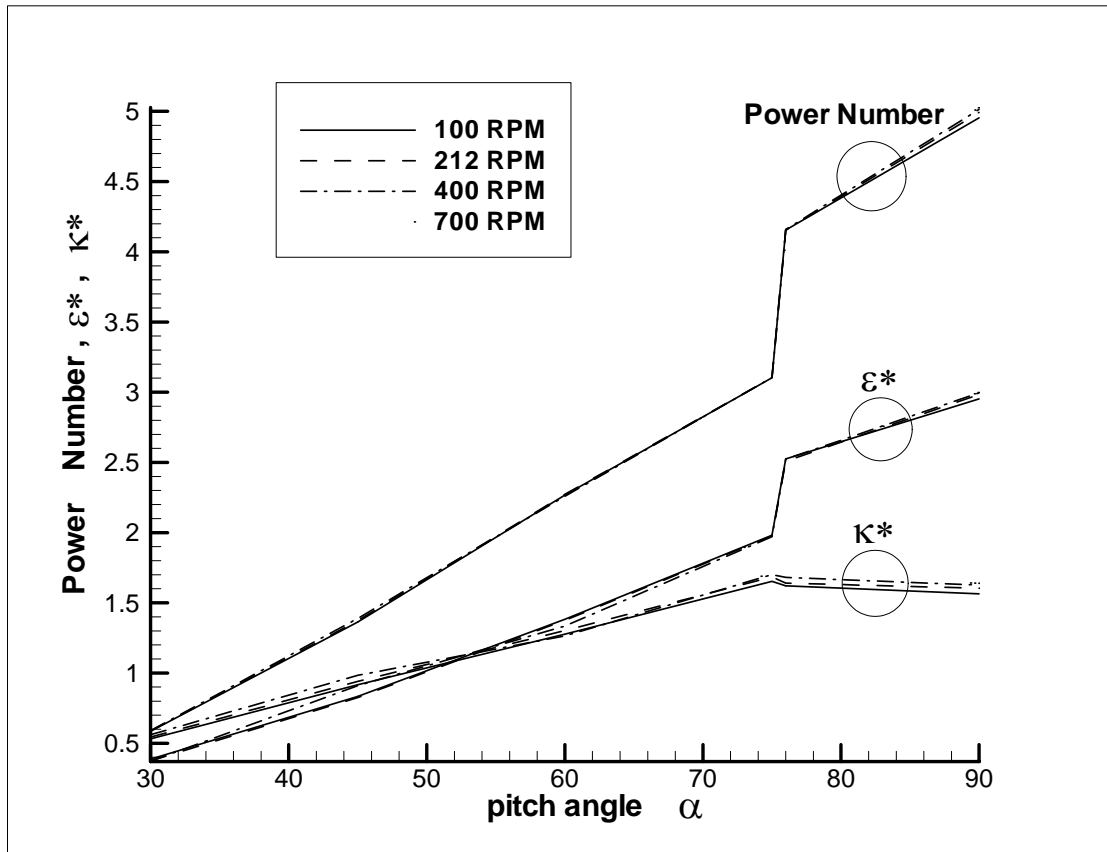


圖 4.42 葉片直徑  $D=T/3$  和間隙  $C=T/3$  在不同轉速時的功率數， $\epsilon^*$ ， $\kappa^*$

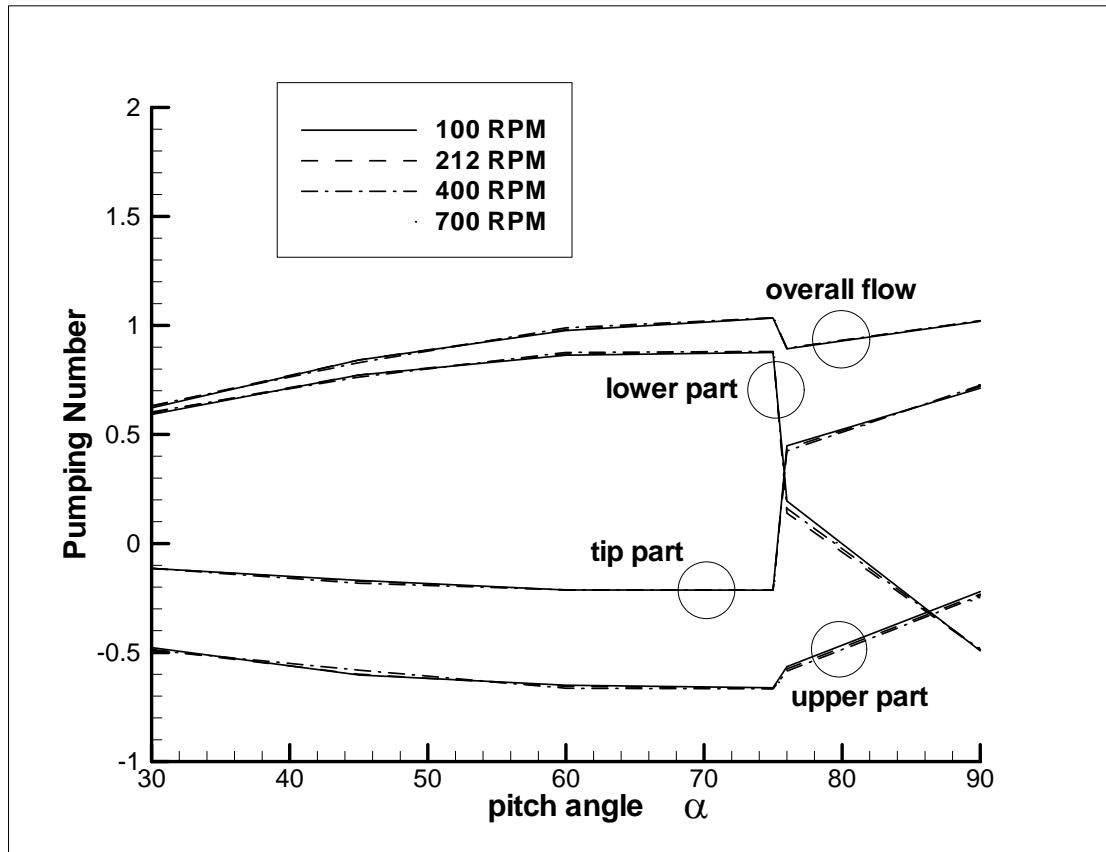


圖 4.43 葉片直徑  $D=T/3$  和間隙  $C=T/3$  在不同轉速時的攪拌數

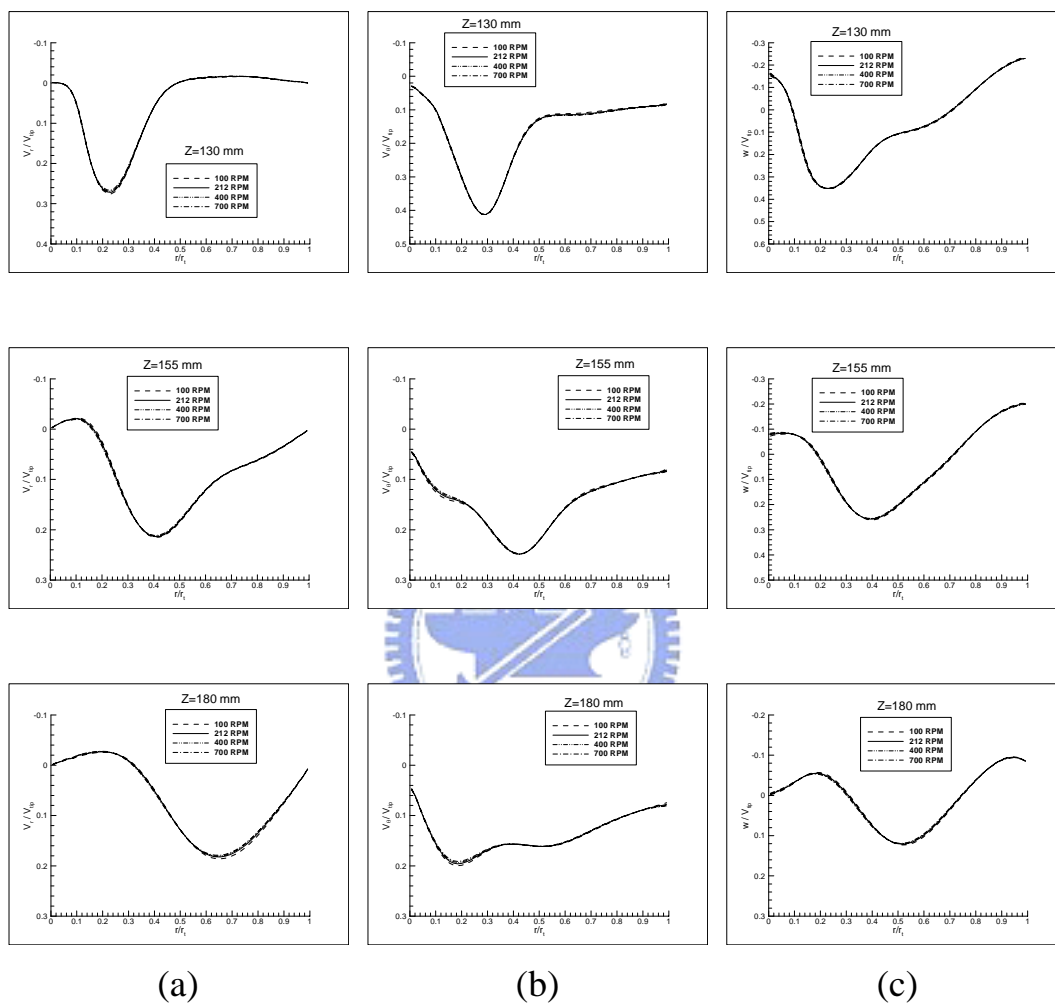


圖 4.44 在不同轉速中速度場的徑向分佈( $C=T/3$ ,  $D=T/3$ ,  $\alpha=75^\circ$ )

(a)  $V_r/V_{tip}$  (b)  $V_\theta/V_{tip}$  (c)  $W/V_{tip}$

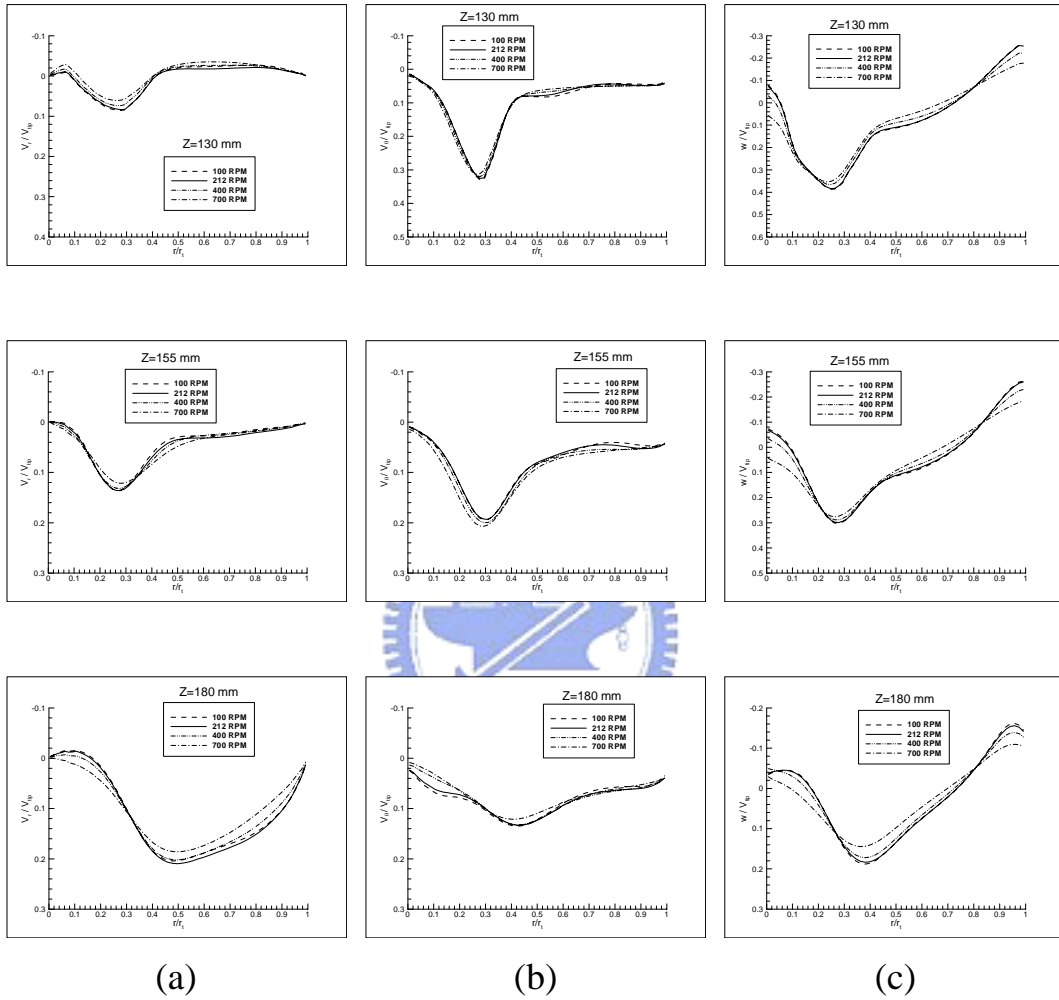


圖 4.45 在不同轉速中速度場的徑向分佈( $C=T/3$ ,  $D= T/3$ ,  $\alpha=45^\circ$ )

(a)  $V_r / V_{tip}$  (b)  $V_\theta / V_{tip}$  (c)  $W / V_{tip}$

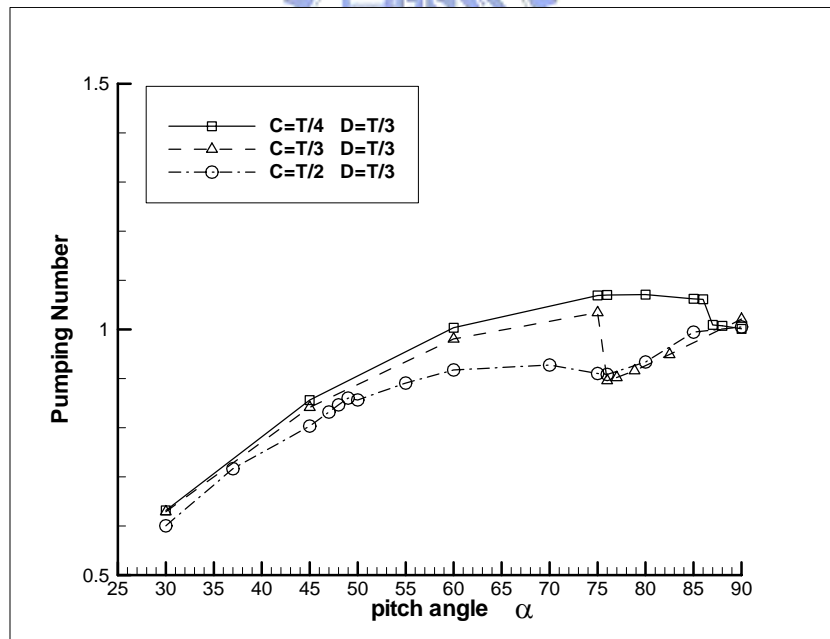
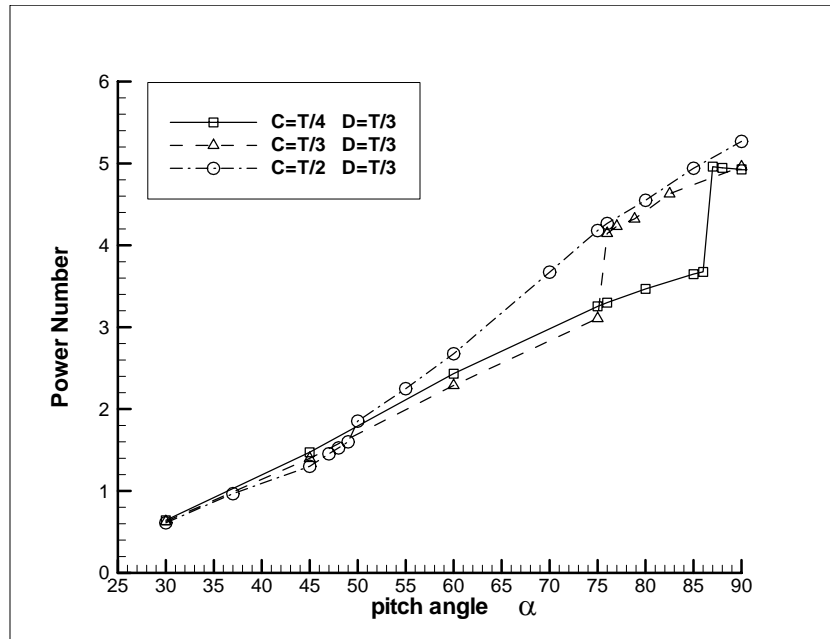


圖 4.46 葉片在直徑  $D=T/3$  時不同間隙的功率數與攪拌數



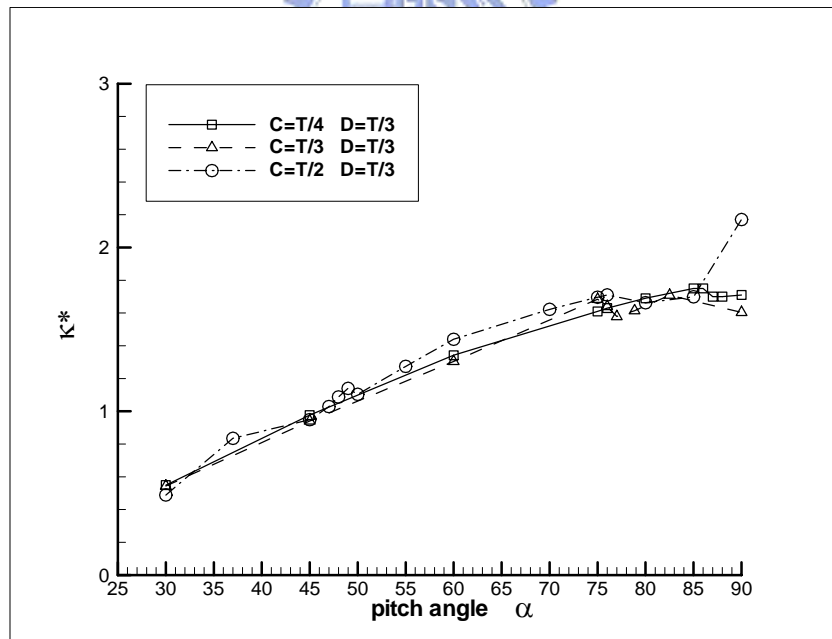
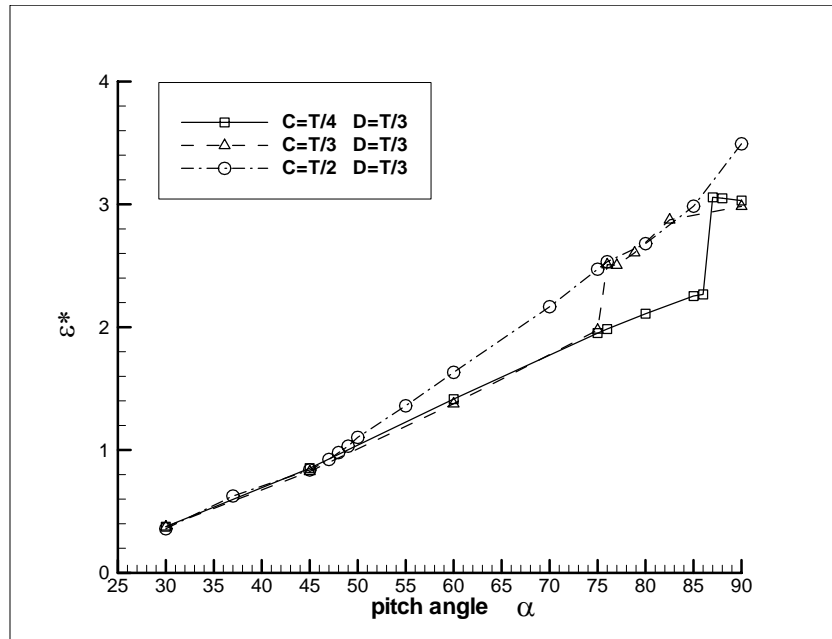


圖 4.47 葉片在直徑  $D=T/3$  時不同間隙的  $\epsilon^*$  和  $\kappa^*$

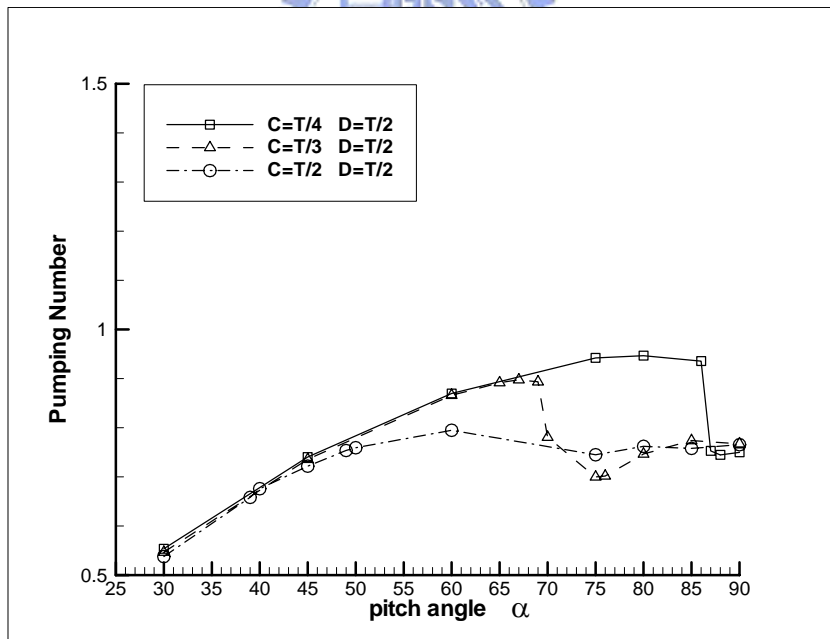
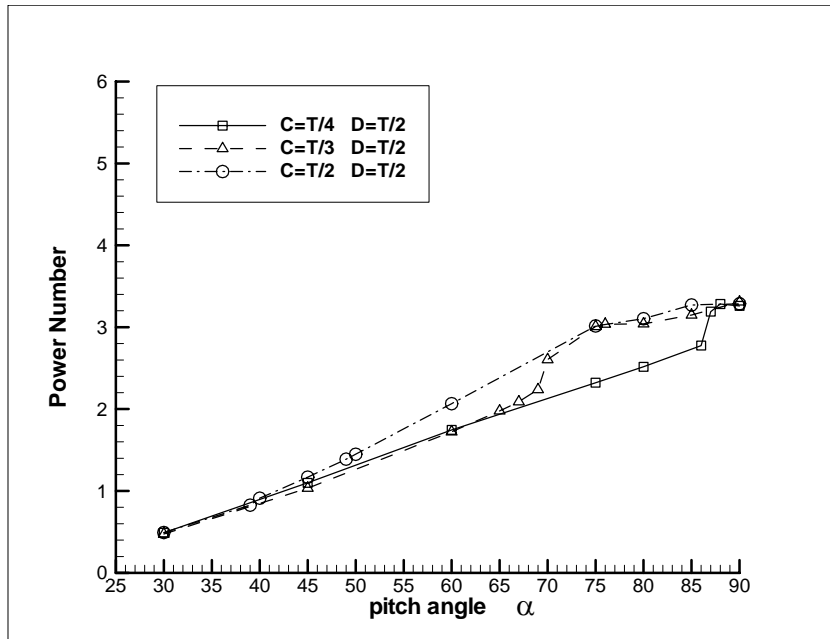


圖 4.48 葉片在直徑  $D=T/2$  時不同間隙的功率數與攪拌數

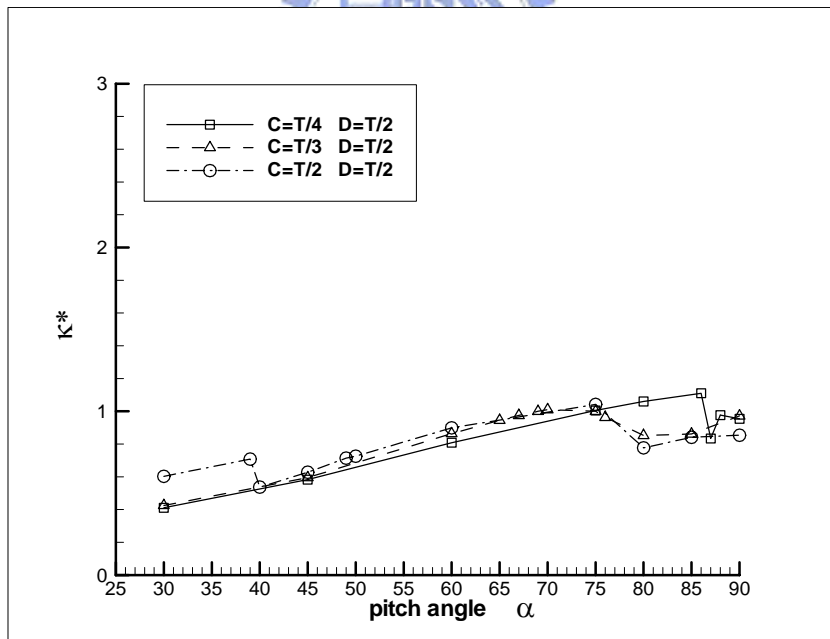
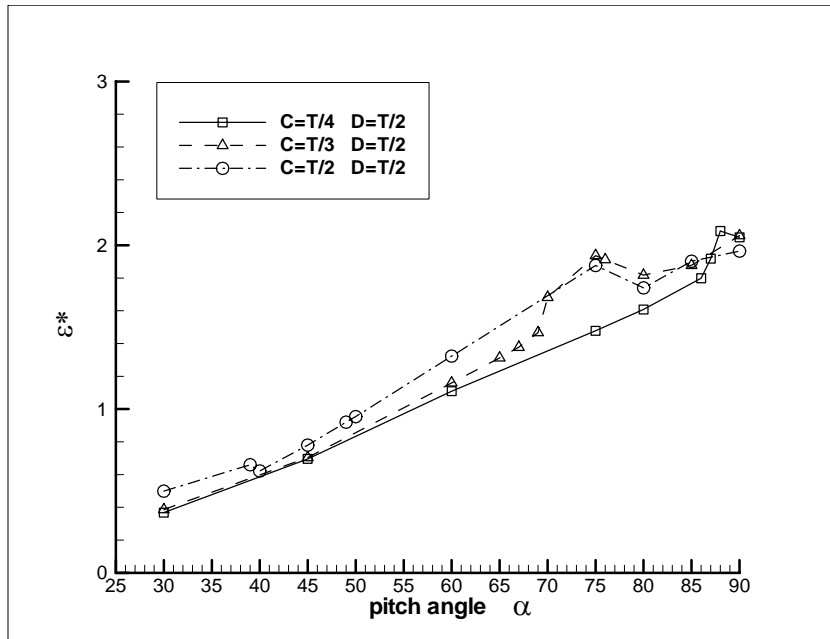


圖 4.49 葉片在直徑  $D=T/2$  時不同間隙的  $\epsilon^*$  和  $\kappa^*$

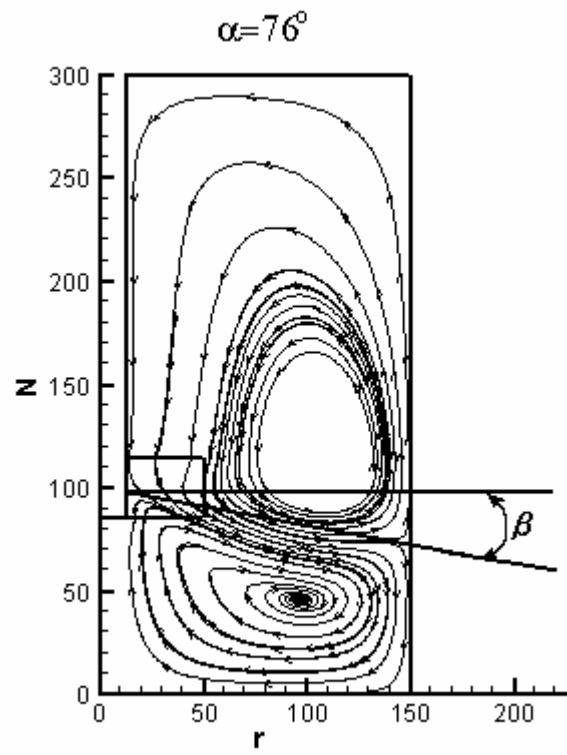
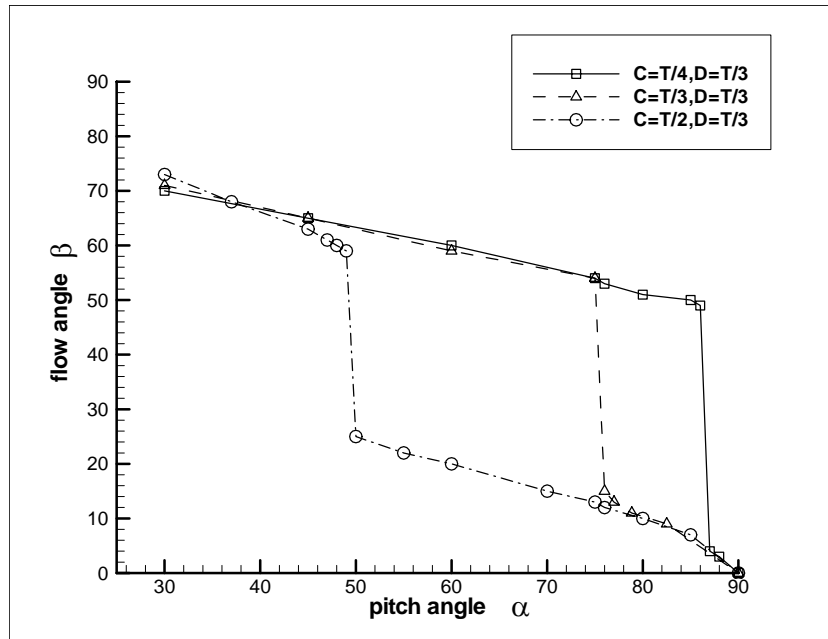
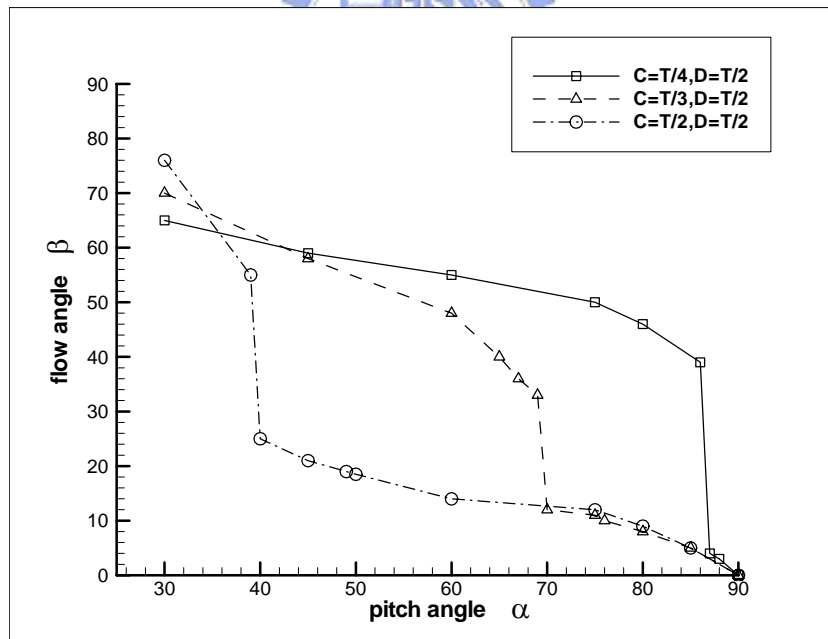


圖 4.50 軸向噴流水平夾角  $\beta$  示意圖



(a)  $D=T/3$



(a)  $D=T/2$

圖 4.51 軸向噴流水平夾角在不同間隙下改變的情形